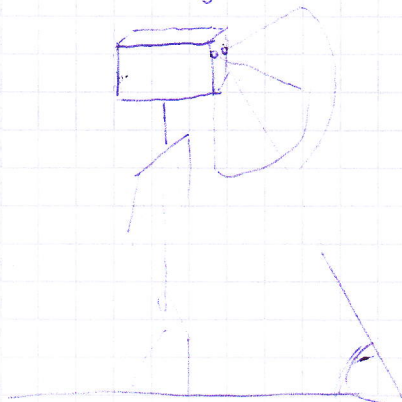


Wir interessieren zwei große Themenbereiche

- Farbe
- Geometrie

1. Vorlesung
21.4.2009

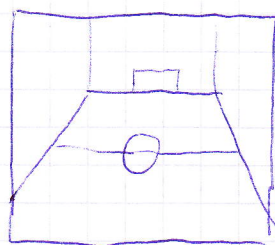
Wir fangen an mit FARBE.



Die Kamera des Roboters projiziert von den Objekten eine Projektion, da sie von oben raus schauen.



Ein Bild der Kamera auf einen Fußballfeld sieht dann ca. so aus:

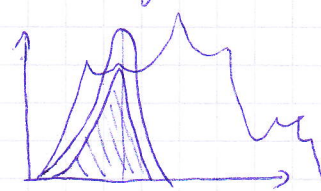


Farbsegmentierung

Farbe ist eine Empfindung des Menschen und muss durch die Maschine gemessen werden. Wie kann also das übertragen?

Das menschliche Auge hat Rezeptoren für die Farben rot, blau, grün sowie Rezeptoren, die auf Helligkeit reagieren.

Die Rezeptoren funktionieren wie Filter des ins Auge kommenden Lichts.

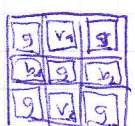


gefiltert. RGB Farbraum

Durch das Filtern hat man natürlich schon ein Genauigkeitsverlust.

Schauen wir uns die Kameras an,

Bayer
Filter



CCD - charged coupled device
CMOS

chip
nicht
der Detektor

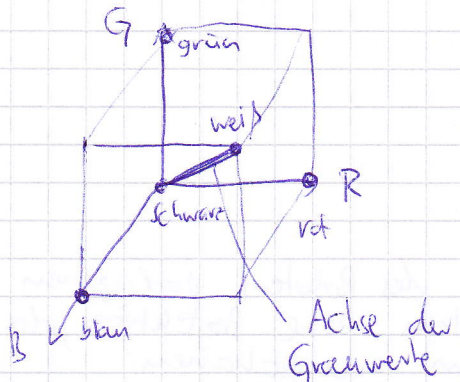
12 Bit
8 - 16 Bit

Man hat mehr grüne Filter ein, da das menschliche Auge in dem Bereich empfindlicher ist.

Der RGB Wert für einen Pixel wird interpoliert:

$$\frac{r_1+r_2/2}{(r_1+r_2)/2} \text{ (Interpolation)} \cdot \frac{s_1+s_2/2}{(s_1+s_2)/2} \quad 14 \text{ Bit}$$

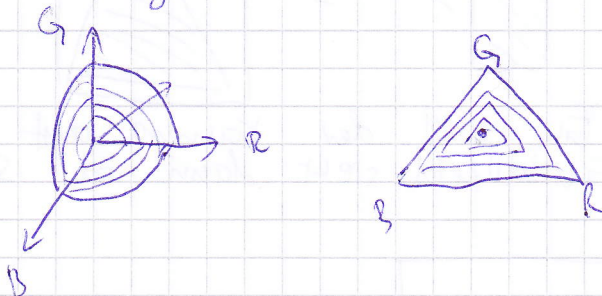
Ein RGB Wert ist ein Punkt im RGB-Raum.



Der Abstand vom Mittelpunkt Umgebung bis zum Rand ist die Sättigung.
Die Farbigkeit ist der Winkel des Vektors. (hue)

Da die Farbe das entcheidende ist, kann man ohne Probleme von dem 3D RGB Raum in 2D gehen; in dem man die Oberfläche

folgender Kugel betrachtet:



Der Radius gibt die Sättigung an und der Winkel die Farbigkeit.

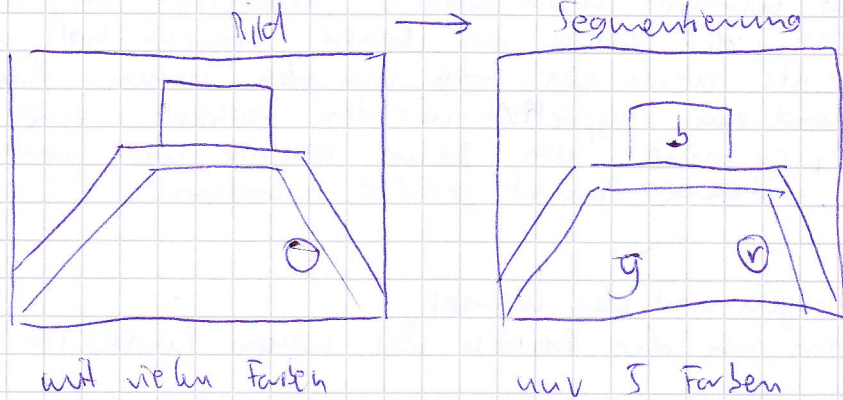
Die Intensität ist die Helligkeit.

Es gibt natürlich noch andere Farbraume: YUV, HSV, ISV, CIE ...

HSV-Raum

$$\begin{aligned} \text{Intensität } V &= \max(R, G, B) \\ \text{Sättigung } S &= \begin{cases} 0 & R=G=B=0 \\ (\max(R, G, B) - \min(R, G, B)) / \max(R, G, B) & \text{sonst} \end{cases} \\ H &= \begin{cases} 0^\circ & R=G=B \\ 60^\circ \text{ wenn } G-B & \underline{\underline{R-B}} \end{cases} \end{aligned}$$

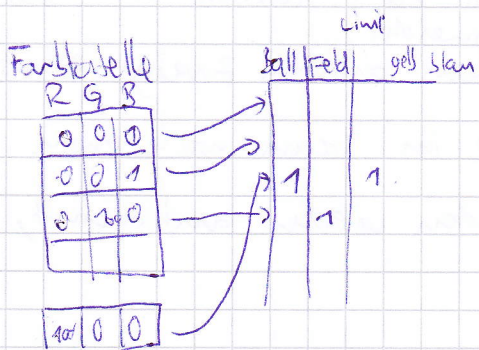
Übungsaufgabe



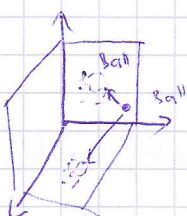
Mit Nearest Neighbors

Weiß und Schwarz einfach: weiß hohe Intensität

Z.B. 4.09
Vorlesung 2



Wie kann man nun die Farbtabelle ausfüllen?
Wir bewerten KD-Bäume



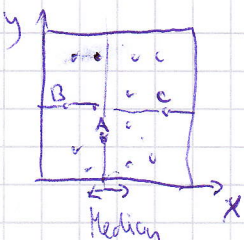
Man hat Punktwolken, die schon zu speziellen zugewandert sind: Bei einem neuen Punkt wird geschaut, wer der nächste Nachbar ist, und dieser Kategorie zugeordnet.

Das ist natürlich aufwendig für viele Punkte.

Wir machen das daher so:

- Bild
- Segmentieren
- Farbtabelle füllen mit den Farben im segmentierten Bild
- Farbtabelle mit Hilfe von KD-Tree ergänzen

Was ist ein KD-Tree? (K steht für die Anzahl der Dimensionen, hier also K=3)

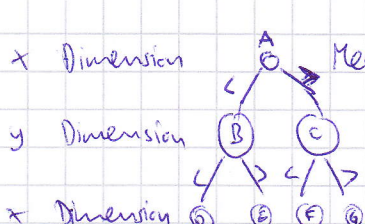


x Dimension Median ist x

y Dimension

x Dimension

y Dimension :



Solang wir rekursiv den Raum in x und y - Dimension teilen, bis in einer Region nur noch 1 Punkt übrig ist.

Ein neuer Punkt kann nun in logarithmischer Zeit eingearbeitet werden. Dabei nimmt man zunächst hypothetisch an, dass der letzte Knoten, den man im Baum besucht hat, der nächste Nachbar ist. Wenn ein Kreis um den neuen Punkt mit Radius = Abstand zum hypothetisch nächsten Nachbarn eine andere Region schneidet, so muss man Baum rekursiv nach unten nach einem näheren Punkt gesucht werden.

Suche:

Start: Anfangen mit der Wurzel

suchen von der Position des neuen Punktes im Raum

Current best: wenn man ein Blatt erreicht, ist dies der current best nächste Nachbar.

Rekursion: Wir überprüfen, ob eine Kugel um Punkt zentriert und mit Radius = Abstand zum "current best" die nächstgelegne Region schneidet

- wenn ja, folge dem anderen Zweig rekursiv bis unten
- wenn nicht, laufe im Baum nach oben

Ende: Wenn man zum Wurzelknoten wieder ankommt, ist man fertig.

Test 1:

Beim Einholzen in die Farbstapel kann man gleich die unmittelbaren Nachbarn markieren. Dann den KD-Tree bauen.

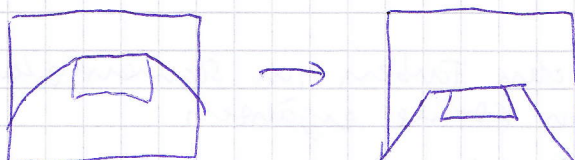
Bild \rightarrow KD-Tree \rightarrow Neues Bild

rot: min (R-G, R-B) > 10 oder so

Test 2: Das gleiche mal mit 7, 6, 5, 4 Bit pro Farbe, nicht mehr die 8 Bit.

Optimale Versetzung

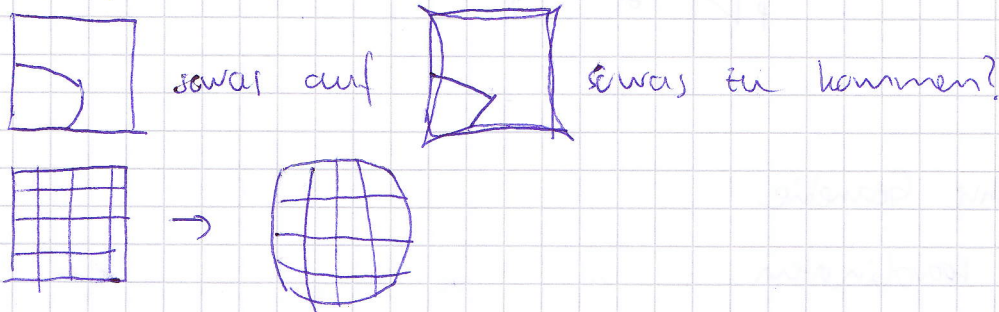
Wir wollen sowas:



5.5-09

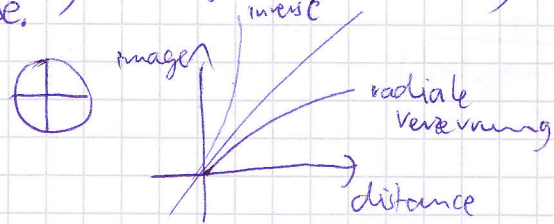
radiale
optische Verzerrung

Vorlesung 3 Wie schafft man es, von



Es gibt mehrere korrekturverfahren

- 1) Gitter. Man legt vor die Linse ein Gitter, dessen Kardinale auf dem Bild dann referenzpunkte darstellen.
- 2) Gitter-Kalibrierung. Bei radikaler Verzerrung ist die Verzerrung in jeder Richtung bei gleichem Abstand dieselbe.



$$(x, y) \rightarrow \left(\frac{x}{f(x,y)}, \frac{y}{f(x,y)} \right)$$

$$(x, y) \rightarrow \underbrace{\sqrt{x^2 + y^2}}_r$$

$$f(x, y) = a_0 + a_1 r + a_2 r^2 + a_3 r^3 + \dots$$

↑ ↑
① wenn
Linse richtig
zentriert

- 3) Wir zeichnen direkt auf dem Bild mit Hilfe von Geraden.

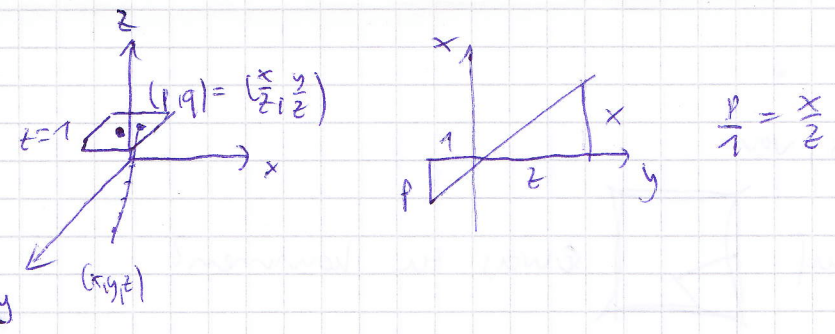
$$\text{Modell: } 1 + a_1 r^2 + a_2 r^4$$

$$(x, y) \rightarrow \left(\frac{x}{1+a_2 r^2}, \frac{y}{1+a_2 r^2} \right)$$

Zu zeigen: Wenn man eine Linie im Original hat, muss sie zu einem Kreissegment abgebildet werden



$$r = g(x, y)$$



Projektive Geometrie

Homogene Koordinaten

$$\vec{p} = \begin{pmatrix} p \\ q \\ 1 \end{pmatrix} = \begin{pmatrix} x \\ y \\ z \end{pmatrix}$$

$$s \begin{pmatrix} p \\ q \\ 1 \end{pmatrix} = \begin{pmatrix} x \\ y \\ \frac{1}{1+\lambda(x^2+y^2)} \end{pmatrix} \quad p = \frac{x}{1+\lambda(x^2+y^2)}$$

Modell

$$q = \frac{y}{1+\lambda(x^2+y^2)}$$

$$\text{Gerade} \quad ax^1 + by^1 + c = 0$$

$$\begin{pmatrix} a \\ b \\ c \end{pmatrix} \cdot \begin{pmatrix} x^1 \\ y^1 \\ 1 \end{pmatrix} = 0 \quad \begin{matrix} a \neq 0 \\ c \neq 0 \end{matrix}$$

$$ax^1 + by^1 + c(1+\lambda(x^2+y^2)) = 0$$

$$\text{Kreisgleichung} \quad (x-x_0)^2 + (y-y_0)^2 = r^2$$

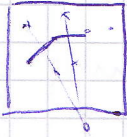
$$\frac{a}{c}x + \frac{b}{c}y + x^2 + y^2 + \frac{1}{\lambda} = 0$$

$$(x + \frac{a}{2c\lambda})^2 - \frac{a^2}{4c^2\lambda^2} + (y + \frac{b}{2c\lambda})^2 - \frac{b^2}{4c^2\lambda^2} + \frac{1}{\lambda} = 0$$

$$x_0 = -\frac{a}{2c\lambda} \quad y_0 = -\frac{b}{2c\lambda}$$

$$\begin{aligned} r^2 &= \frac{a^2}{4c^2\lambda^2} + \frac{b^2}{4c^2\lambda^2} - \frac{1}{\lambda} \\ &= x_0^2 + y_0^2 - \frac{1}{\lambda} \\ &\quad \text{Mittelpunkt vom Kreis} \end{aligned}$$

Wie findet man nun einen Kreis?



Per Zirkel und Lineal ist zu ungern und fehleranfällig

Daher machen wir das numerisch

$$Ax^2 + By^2 + Cx + Dy + E = 0$$

$(x_1, y_1), (x_2, y_2), (x_3, y_3) \dots$ Daten

$$\begin{pmatrix} x_1^2 & y_1^2 & x_1 & y_1 & 1 \\ x_2^2 & y_2^2 & x_2 & y_2 & 1 \\ \vdots & \vdots & \vdots & \vdots & \vdots \\ \end{pmatrix}, \begin{pmatrix} A \\ B \\ C \\ D \\ E \end{pmatrix} = 0$$

Für einen Kreis kann man gleich $A=B=1$ annehmen.
Also man nimmt am besten so viele Punkte wie möglich, um Fehler klein zu halten.

$$\begin{pmatrix} x_1^2 & y_1^2 & x_1 & y_1 \\ \vdots & \vdots & \vdots & \vdots \\ \end{pmatrix} \cdot \begin{pmatrix} A \\ B \\ C \\ D \end{pmatrix} = - \underbrace{\begin{pmatrix} 1 \\ 1 \\ \vdots \\ 1 \end{pmatrix}}_{E}$$

$\mathbf{P} \quad \mathbf{Q}$

$$X \cdot P = Q$$

$$X^T X P = X^T Q$$

$$P = (X^T X)^{-1} X^T Q$$

Anderer Weise über den Gradientenabhang:

$$\text{Minimiere } E^2 = \sum_{i=0}^N ((x_i - x_0)^2 + (y_i - y_0)^2 - r^2)^2$$

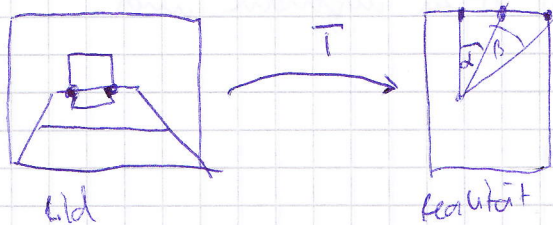
x_0, y_0, r unbekannt

Lokalisierung

12.5.09

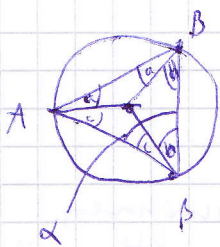
Vorlesung 4

①



Es reichen 3 Punkte auf die man auf dem Bild lokalisieren kann und von denen man weiß, wo sie in der Realität liegen.

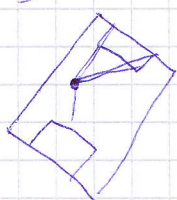
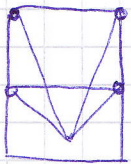
Das liegt daran, dass man aus zwei Punkten und dem Winkel einen Kreis konstruieren kann, auf dessen Rand der Roboter stehen muss. Durch noch einen Dritten Punkt sieht sich ein zweiter, dessen Schnittpunkt mit dem anderen der Standort sein muss.



$$\begin{aligned} 2a + 2b + 2c &= \pi \\ a + b + c &= \frac{\pi}{2} \\ a &= \frac{\pi}{2} - a \end{aligned}$$

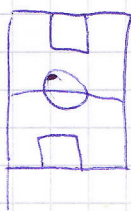
Jetzt Lokalisierung mit 4 Punkten.

②



Das tolle hierbei ist, dass man durch die Punkte, die auf einer Seite liegen müssen, sogar die genaue Position der Kamera bestimmen kann, also die Höhe

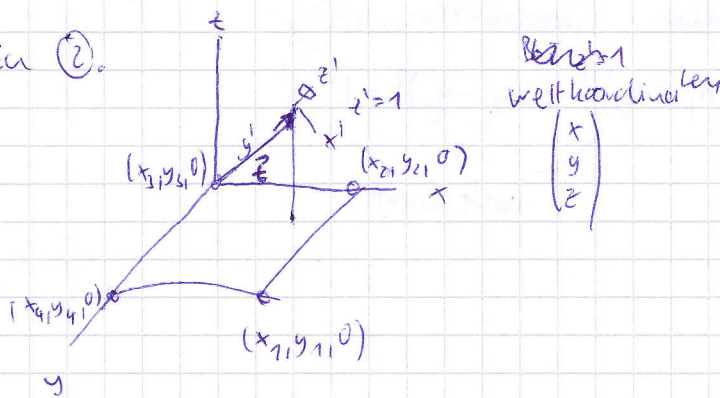
③



...
.

Jetzt muss man versuchen, diese extrahierten Punkte auf das Feld zu matchen

Zu ②.



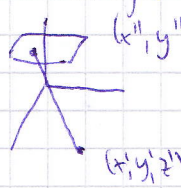
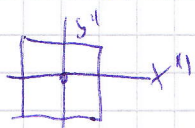
Kamerakoordinaten

$$\begin{pmatrix} x^c \\ y^c \\ z^c \end{pmatrix} = R \left(\begin{pmatrix} x^w \\ y^w \\ z^w \end{pmatrix} - \vec{t} \right)$$

Rotation

$$= R \begin{pmatrix} x^w \\ y^w \\ z^w \end{pmatrix} - R\vec{t}$$

Im Kamerabild hat man ja nur zwei Koordinaten:



Bekannt sind:

$$(x_1, y_1), (x_2, y_2), (x_3, y_3), (x_4, y_4), (x''_1, y''_1), (x''_2, y''_2), (x''_3, y''_3), (x''_4, y''_4).$$

Unbekannt sind: R, \vec{t}

$$\begin{pmatrix} x \\ y \\ z \end{pmatrix} = P \begin{pmatrix} x \\ y \\ z \end{pmatrix} - R\vec{t}$$

$$= \begin{pmatrix} v_{11} & v_{12} \\ v_{21} & v_{22} \\ v_{31} & v_{32} \end{pmatrix} \begin{pmatrix} x \\ y \\ z \end{pmatrix} - R\vec{t}$$

$$\begin{pmatrix} x \\ y \\ z \end{pmatrix} = \begin{pmatrix} h_1 & h_2 & h_3 \\ h_4 & h_5 & h_6 \\ h_7 & h_8 & h_9 \end{pmatrix} \begin{pmatrix} x \\ y \\ z \end{pmatrix}$$

$$\begin{aligned} x'' &= \frac{x_1}{z_1} & x_1'' &= x_1 \\ y'' &= \frac{y_1}{z_1} & y_1'' &= y_1 \end{aligned} \quad \left. \begin{array}{l} x_1'' = x_1 \\ y_1'' = y_1 \end{array} \right\} \quad (i)$$

$$\begin{aligned} x_1'' &= (x_1 \ y_1 \ 1 \ 0 \ 0 \ 0 \ 0 \ 0 \ 0) \cdot \begin{pmatrix} h_1 \\ h_2 \\ h_3 \\ h_4 \\ h_5 \\ h_6 \\ h_7 \\ h_8 \\ h_9 \end{pmatrix} \\ y_1'' &= (0 \ 0 \ 0 \ x_1 \ y_1 \ 1 \ 0 \ 0 \ 0) \cdot \begin{pmatrix} h_1 \\ h_2 \\ h_3 \\ h_4 \\ h_5 \\ h_6 \\ h_7 \\ h_8 \\ h_9 \end{pmatrix} \\ z_1'' &= (0 \ 0 \ 0 \ 0 \ 0 \ 0 \ x_1 \ y_1 \ 1) \cdot \begin{pmatrix} h_1 \\ h_2 \\ h_3 \\ h_4 \\ h_5 \\ h_6 \\ h_7 \\ h_8 \\ h_9 \end{pmatrix} \end{aligned} \quad (ii)$$

Man benötigt nun (i) und (ii) um etwas lineares zu bekommen.

$$x_1'' (0 \ 0 \ 0 \ 0 \ 0 \ 0 \ x_1 \ y_1 \ 1) \vec{h} = (x_1 \ y_1 \ 1 \ 0 \ 0 \ 0 \ 0 \ 0 \ 0) \vec{h}$$

$$y_1'' (0 \ 0 \ 0 \ 0 \ 0 \ 0 \ x_1 \ y_1 \ 1) \vec{h} = (0 \ 0 \ 0 \ x_1 \ y_1 \ 1 \ 0 \ 0 \ 0) \vec{h}$$

$$P_L \begin{cases} (x_1 \ x_2 \ 1 \ 0 \ 0 \ 0 \ -x_1'' x_1 \ -x_1'' y_1 \ -x_1'') \vec{h} = 0 \\ (0 \ 0 \ 0 \ x_1 \ y_1 \ 1 \ -y_1'' x_1 \ -y_1'' y_1 \ -y_1'') \vec{h} = 0 \end{cases}$$

$$L \cdot \underbrace{\begin{pmatrix} x_1 & y_1 & 1 & 0 & 0 & 0 & -x_1'' x_1 & -x_1'' y_1 & -x_1'' \\ 0 & 0 & 0 & x_1 & y_1 & 1 & -y_1'' x_1 & -y_1'' y_1 & -y_1'' \\ x_2 & y_2 & 1 & 0 & 0 & 0 & -x_2'' x_2 & -x_2'' y_2 & -x_2'' \\ 0 & 0 & 0 & x_2 & y_2 & 1 & -y_2'' x_2 & -y_2'' y_2 & -y_2'' \end{pmatrix}}_0 \underbrace{\begin{pmatrix} h_1 \\ h_2 \\ h_3 \\ h_4 \\ h_5 \\ h_6 \\ h_7 \\ h_8 \\ h_9 \end{pmatrix}}_0 = 0 \quad \text{da } A \cdot \vec{h} = 0$$

Da wir nur 8 Gleichungen aber 9 Unbekannte haben, setzt man einfach eine Unbekannte auf 1.

$$h_9 = 1$$

$$\Rightarrow \begin{pmatrix} m \\ \vdots \\ h_9 \end{pmatrix} = -B \quad \text{ist lösbar.}$$

Jetzt nennen wir die Matrix mit den h_i .

$$C = \begin{pmatrix} v_{11} & v_{12} \\ v_{21} & v_{22} \\ v_{31} & v_{32} \end{pmatrix} \quad - R\vec{t} = \begin{pmatrix} h_1 & h_2 & h_3 \\ h_4 & h_5 & h_6 \\ h_7 & h_8 & h_9 \end{pmatrix}$$

$\vec{v}_1 \quad \vec{v}_2$

Werte vor den Spalten sollte eins sein (wegen
Rotations)

$$c = \sqrt{h_1^2 + h_4^2 + h_7^2}$$

Wenn man zwei Spalten der Fotokugelmatrix hat, hat man
automatisch die 3. Und zwar muss dieser Vektor normal zu
den beiden anderen sein.

$$\vec{v}_1 \times \vec{v}_2 = \vec{v}_3$$

$$\vec{v}_1 \times \vec{v}_3 = \begin{pmatrix} v_{22}b_3 - v_{32}b_2 \\ v_{32}b_1 - v_{12}b_3 \\ v_{12}b_2 - v_{22}b_1 \end{pmatrix}$$

$$R = \begin{pmatrix} v_{11}/c & v_{12}/c \\ v_{21}/c & v_{22}/c \\ v_{31}/c & v_{32}/c \end{pmatrix} \quad \vec{v}_1 \times \vec{v}_2$$

$$\begin{pmatrix} h_3/c \\ h_6/c \\ h_9/c \end{pmatrix} = -R\vec{t}$$

Jetzt hat man also R und \vec{t} gefunden und ist fertig.

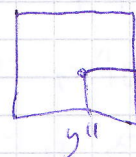
Diese Methode benutzt man besonders zum Kalibrieren.
So kann man gleich mehrere Schritte auf einmal machen:

- Entzerrung
- Kamera winkel

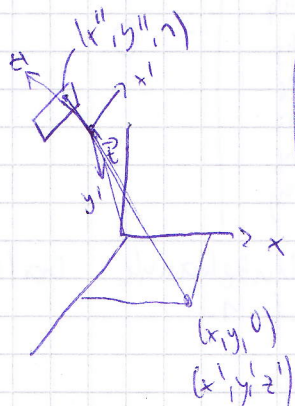
Jetzt will man natürlich auch andere Objekte finden.



Man hat im Bild
die Position der
Ballkugeln erkannt.



(x'', y'', z'') und f, \vec{t}
bekannt

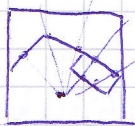


$$\begin{pmatrix} x \\ y \\ z \end{pmatrix} = R \begin{pmatrix} x' \\ y' \\ z' \end{pmatrix} + R\vec{t}$$

Vorlesung 5

26.5.2009

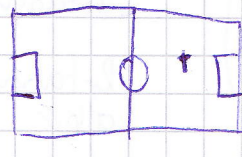
Lokalisierung



=



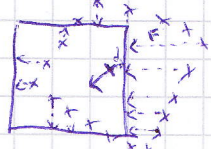
Modell



matching?

EM-Algorithmus (Expectation-Maximization)

Bsp:



$$F = c \sum f_i$$

$$D = d \sum d_i$$

Die Punkte werden mit den Linien assoziiert, die am nächsten stehen. Man könnte die Linien nun als möglich annehmen, so dass die Punkte von ihnen angezogen werden.

M Rotation, Translation

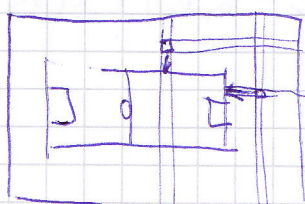
Dann iteriert man dann, bis zur Konvergenz oder Sich zu einer bestimmten Anzahl von Iterationen.

Die Position des Roboters ist der Ursprung der Punktswolke. Durch das Matching wird dann die korrekte Position gefunden.

So wäre der Algorithmus relativ langsam, da man die Abstände berechnen muss.

Der EM-Tabelle geht das schneller.

EM-Tabelle



Man berechnet im Voraus für Gitterpunkte die man über das Modell legt, die wirkende Kraft. Alle Werte speichern man in einer Tabelle.

Rotations

$$\begin{pmatrix} \cos \alpha & -\sin \alpha & 0 \\ \sin \alpha & \cos \alpha & 0 \\ 0 & 0 & 1 \end{pmatrix} \begin{pmatrix} x \\ y \\ z \end{pmatrix}$$

Rotation um z-Achse

Rotationsmatrix ist multiplikativ
aller Einzelmatrizen

$$B^3 R = R_z R_y R_x$$

Für die Eigenvektoren gilt: Bei Rotation $R_x \vec{x} = \vec{x}$

Quaternionen (0)

Verallgemeinerung der komplexen Zahlen

$$a+bi \\ i^2 = -1$$

$$(a+bi) + (c+di) = (a+c) + (b+d)i$$

$$(a+bi)(c+di) = (ac - bd) + (ad + bc)i$$

$R \quad C \quad \mathbb{Q}$

$$+ \quad a+bi \quad (a, b, c, d)$$

$$- \quad a+bi + cj + dk$$

$$\cdot \quad \cdot$$

$$= \quad \cdot$$

$$i^2 = j^2 = k^2 = ijk = -1$$

$$(a+bi+cj+dk) + (p+qi+rj+sk) = (a+p) + (b+q)i + (c+r)j + (d+s)k$$

$$(1+2i)(i+j) = i + j + 2i^2 + 2ij$$

$$= -2 + i + j + 2k$$

$$ij = k \\ ji = i \\ ki = j$$

$$ji = -k \\ kj = -i \\ ik = -j$$

$$\begin{array}{c} i \\ j \\ k \end{array}$$

$(u_x, u_y, u_z) = \vec{u}$ Vektor

$\rightarrow u_x i + u_y j + u_z k \rightarrow$ Repräsentation des Vektors als Quaternion

$$\vec{v} = (v_x, v_y, v_z) \quad v_x i + v_y j + v_z k$$

$$\vec{u} \vec{v} = -uv_x - u_y v_y - u_z v_z + i(u_y v_z - u_z v_y) + j(u_z v_x - u_x v_z) + k(u_x v_y - u_y v_x)$$

$$uv = - (uv) + (u \times v)$$

$$vu = \frac{(uv)}{-} - \frac{(u \times v)}{+} \\ \in -(v \times u)$$

$$u \circ v = - \frac{uv + vu}{2}$$

$$u \times v = \frac{uv - vu}{2}$$

$$v \rightarrow R v R^{-1}$$

(aller als Quarkwörter)

$$R = \left(\cos \frac{\theta}{2} \right) + \left(\sin \frac{\theta}{2} \right) \vec{n}$$

\uparrow
Einheitsvektor
Rotationsaxe

Rotation mit Quotienten

2.6.09
CV

$$R = \left(\cos \frac{\alpha}{2} \right) + \left(\sin \frac{\alpha}{2} \right) \vec{u}$$

$$v \rightarrow R v R^{-1} \quad \text{Quotienten}$$

zu rotieren

Identitäten

$$\overrightarrow{uv} = \frac{\overrightarrow{uv} + \overrightarrow{vu}}{2}$$

Skalarprodukt

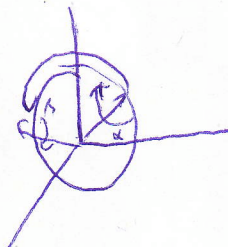
$$\overrightarrow{u} \cdot \overrightarrow{v} = \frac{\overrightarrow{uv} - \overrightarrow{vu}}{2}$$

$$\overrightarrow{uvw} = -[\overrightarrow{uv} \cdot \overrightarrow{w}] - (\overrightarrow{vw}) \cdot \overrightarrow{u} + (\overrightarrow{uw}) \cdot \overrightarrow{v} - (\overrightarrow{uv}) \cdot \overrightarrow{w}$$

$$[\overrightarrow{uvw}] = \frac{\overrightarrow{ww} - \overrightarrow{vwv}}{2}$$

$$(\overrightarrow{u} \times \overrightarrow{v}) \times \overrightarrow{w} = \frac{\overrightarrow{ww} - \overrightarrow{wvw}}{2}$$

$$\overrightarrow{u} \times (\overrightarrow{v} \times \overrightarrow{w}) = \frac{\overrightarrow{wvw} - \overrightarrow{vwv}}{2}$$



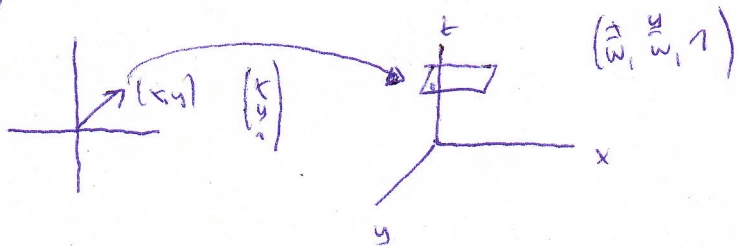
$$\text{norm} \left| (1-t) \vec{u} + \vec{v} \cdot t \right)$$

$$t = 0 \dots 1$$

Geometrien	Euklidisch	Ähnlichkeit	Affine	Projektiv
Rotation	✓	✓	✓	✓
Translation	✓	✓	✓	✓
Skalierung		✓	✓	✓
Skalierung (unterschiedlich Faktoren)			✓	✓
Scherung			✓	✓
Perspektive				✓
Komposition von Perspektiven				✓

Bei der projektiven Geometrie sterben Linien, Flächen und Geraden erhalten.

Homogene Koordinaten



$$\begin{pmatrix} x \\ y \\ 1 \end{pmatrix} = \begin{pmatrix} x \\ y \\ w \end{pmatrix} \quad \frac{x}{w} = x \quad \frac{y}{w} = y$$

Linien

$$ax+by+c=0$$

$$a \cdot w + b \cdot y + c \cdot w = 0$$

$$a \cdot X + b \cdot Y + c \cdot W = 0$$

$$\begin{pmatrix} x \\ y \\ 1 \end{pmatrix} \cdot \begin{pmatrix} a & b & c \\ 0 & 0 & 1 \end{pmatrix} = 0$$

$$\vec{p} \cdot \vec{l} = 0 \quad \text{Dualität}$$

Zwei Linien

$$l_1 = (a_1, b_1, c_1)^T$$

$$l_2 = (a_2, b_2, c_2)^T$$



Schnittpunkt der Linien ist $\vec{p} = \vec{l}_1 \times \vec{l}_2$

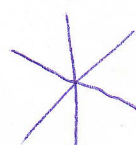
Plane aus 2 Punkten

$$\vec{l} = \vec{p}_1 \times \vec{p}_2$$

$\vec{p}_1, \vec{p}_2, \vec{p}_3$ kollinear!



$\vec{l}_1, \vec{l}_2, \vec{l}_3$



$$\vec{l} \cdot (\vec{l}_1 \times \vec{l}_2) = 0$$

$[l_1 \ l_2 \ l_3]^T$ Determinante der 3 Vektoren

Cross-Ratio

$$\text{CR} = \frac{\Delta_{13} \Delta_{42}}{\Delta_{14} \Delta_{23}}$$

Δ_{ij} ist Abstand zwischen Punkten p_i zu p_j

Bei der projektiven Transformation ist die Cross-Ratio invariant.

Abstand Linie / Punkt

$$d = (ax_1 + by_1 + c) \cdot \lambda$$

mit

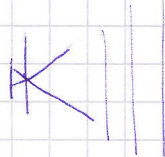
9.6.2009

Stereo Vision

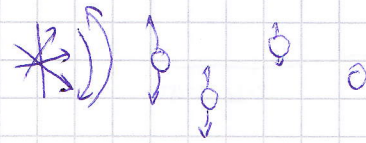
wir wollen Tiefeinformationen

Vorlesung 7 • Tiefeinformationen

- Fokus nach mittlerer Form



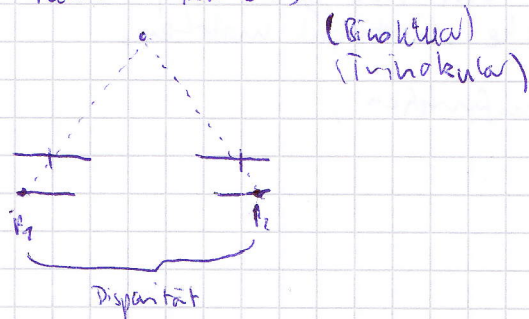
- Kamera scannen



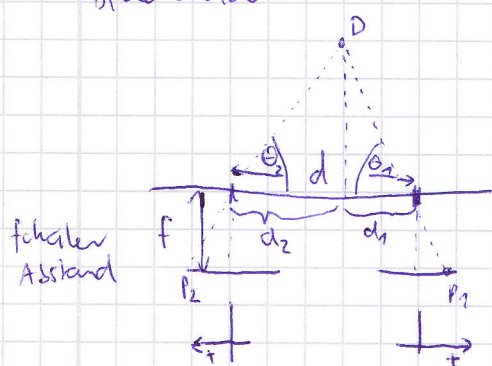
optical flow

je weiter weg die Gegenstände sind, umso weniger bewegen sie sich

- Mehrere Kameras



Binokular



$$\frac{D}{d_2} = \tan \theta_2 = \frac{f}{p_2}$$

$$\frac{D}{d_1} = \tan \theta_1 = \frac{f}{p_1}$$

$$d_2 = D \frac{p_2}{f} \quad d_1 = D \frac{p_1}{f}$$

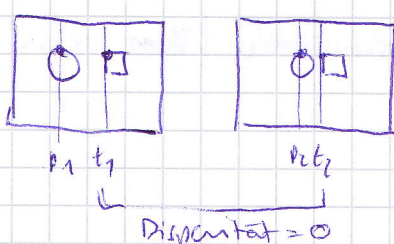
$$d = D \left(\frac{p_2}{f} + \frac{p_1}{f} \right)$$

$$D = \frac{df}{p_1 + p_2}$$

mit selben Vorzeichen

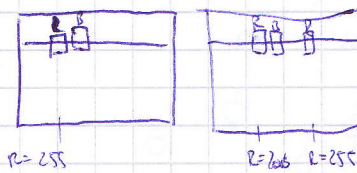
$$D = -\frac{df}{p_1 - p_2}$$

Man hat jetzt zwei Bilder



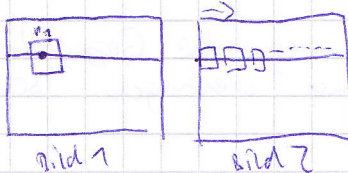
Wie kann man nun die Pixel in Korrespondenz bringen?

Matching



- Verdeckungen
- Reihenfolge der Pixel

Block matching

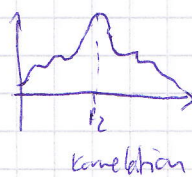


Scannen der gleichen Zeile mit dem Block aus Bild 1 in Bild 2.

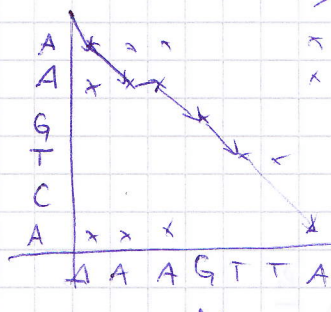
Die Blöcke sind bewertet man das Skalarprodukt.

Ein größer Wert sagt aus, dass die Koverlation gut ist, ein geringerer sagt aus, dass die Blöcke nicht gut matchen.

Das Skalarprodukt ist also die Kostenfunktion.

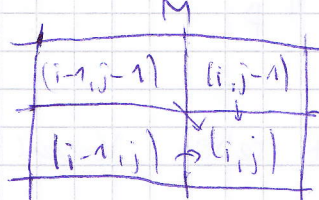


Dynamic Programming Ansatzt aus der Bioinformatik



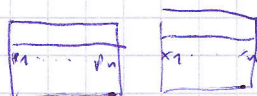
$$\text{beden}(A, A) = 0$$

$$\text{kosten}(T, C) = 1$$



$$M(i, j) = \min(M(i-1, j-1) + \text{kosten}((i-1, j-1), (i, j)), \\ M(i, j-1) + \text{Verdeckungskosten}, \\ M(i-1, j) + \text{Verdeckungskosten})$$

Dynamische Programmierung für Stereo



a) Kostenfunktion

$$\text{Kosten}(x_1, p_1) = -\text{CC Relationsindex}(\text{Box}(p_1), \text{Box}(x_1))$$

b) Maschinenie



Bild 1

Bild 2

16.6.09

Optischer Fluss

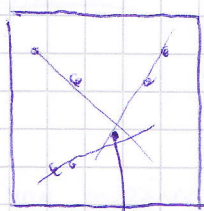
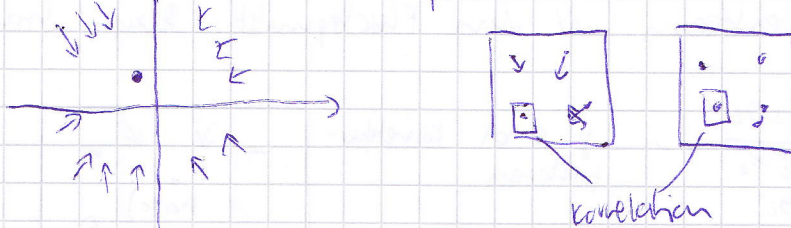
Vorlesung 8

$$\text{Disparität} \propto \frac{d}{D}$$

$$D \propto \frac{d}{\text{Disparität}} = \text{opt. Fluss}$$

Optischer Fluss ist ein Spezialfall von Stereo Vision.

Man will den Fluchtpunkt berechnen

(x_c, y_c)
Fluchtpunkt

Jede Linie ist durch ihre Koeffizienten gegeben:

$$a_i x + b_i y + c_i = 0$$

$$a'_i x + b'_i y + c'_i = 0 \quad \rightarrow \underbrace{\frac{a_i}{\sqrt{a_i^2 + b_i^2}}}_{{a'_i}^\top} x + \underbrace{\frac{b_i}{\sqrt{a_i^2 + b_i^2}}}_{{b'_i}^\top} y + \underbrace{\frac{c_i}{\sqrt{a_i^2 + b_i^2}}}_{{c'_i}^\top} = 0$$

$$E = \sum_{i=1}^N \frac{(a_i x_c + b_i y_c + c_i)^2}{|a_i|^2 + |b_i|^2}$$

$$= \sum_{i=1}^N (a'_i x_c + b'_i y_c + c'_i)^2$$

normalisiert
 $a_i^2 + b_i^2 = 1$

will man minimieren

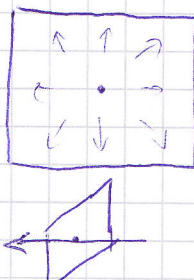
$$\frac{\partial E}{\partial x_c} = 0 \quad \sum 2(a'_i x_c + b'_i y_c + c'_i) a'_i = 0$$

$$\frac{\partial E}{\partial y_c} = 0 \quad \sum 2(a'_i x_c + b'_i y_c + c'_i) b'_i = 0$$

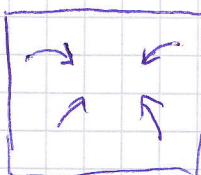
$$\begin{pmatrix} \sum a_i'^2 & \sum a'_i b'_i \\ \sum b'_i a'_i & \sum b_i'^2 \end{pmatrix} \begin{pmatrix} x_c \\ y_c \end{pmatrix} = - \begin{pmatrix} \sum a'_i c'_i \\ \sum b'_i c'_i \end{pmatrix}$$

Das ist der Optimalfall.

Wie ist es mit optischer Verzerrung?



Bei Verzerrung ist der optische Fluss auch gekrümmt



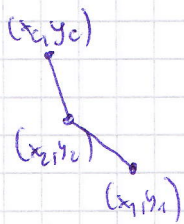
Wir wollen mit dem optischen Fluss die radiale Entzerrung wegbekommen.

$$\gamma = \alpha_3 v^2 + \alpha_2 v + \alpha_1 \quad \text{Abstand zur Mitte des Bildes}$$

Wir wenden den EM-Algorithmus an.

Erwarten als Fluchtpunkt (x_c, y_c) .

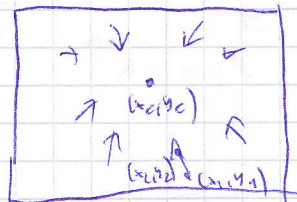
Im Maximierungsschritt verbessern wir den Fluchtpunkt. Dazu braucht man



$$g_1 = \frac{\beta_1 y_1 - \beta_2 y_2}{\beta_1 x_1 - \beta_2 x_2}$$

$$g_2 = \frac{\beta_2 y_2 - \beta_1 y_1}{\beta_2 x_2 - \beta_1 x_1}$$

$$\begin{aligned} g_1 &= \frac{\beta_1 y_1 - \beta_2 y_2}{\beta_1 x_1 - \beta_2 x_2} \\ g_2 &= \frac{\beta_2 y_2 - \beta_1 y_1}{\beta_2 x_2 - \beta_1 x_1} \\ \alpha_3 &= 0 \quad \alpha_2 = 0 \quad \alpha_1 = 1 \end{aligned}$$



$$E = \frac{1}{2} (g_1 - g_2)^2 \quad \text{Fehler für eine Linie}$$

$$E = \sum_j \frac{1}{2} (g_{1j} - g_{2j})^2 \quad \text{Gesamtfehler. Den müssen wir minimieren.}$$

$$\gamma = \alpha_3 v_1^2 + \alpha_2 v_1 + \alpha_1$$

$$v_1 = \sqrt{x_1^2 + y_1^2}$$

Gradientenabstieg um die Konstanten zu finden.

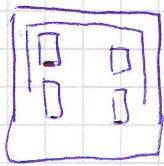
$$\Delta \alpha_3 = -\frac{\partial E}{\partial \alpha_3} \quad \dots$$

30.6.09

Hough-Transformation

Vorlesung 10

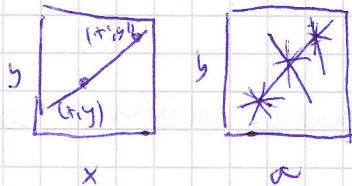
Man hat ein Bild und will z.B. Geraden finden.



Die Überlegung ist nun, obwohl Linien alle durch den Punkt (x,y) gehen können. Also

$$\begin{pmatrix} x \\ y \\ 1 \end{pmatrix} \cdot \begin{pmatrix} a \\ b \\ 1 \end{pmatrix} = 0$$

$$ax + by + 1 = 0$$



Wenn man das jetzt ganz oft mit vielen Punkten macht, bekommt man im Abstand ganz viele Geraden und dort wo wichtige Geraden im Bild sind, hat man Anhäufungen von Schnittpunkten.

Die Hough-Transformation entspricht der dualen Darstellung der Datenpunkte.

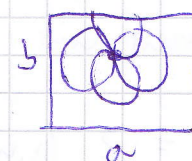
Man kann auch Kreise finden.

$$(x-a)^2 + (y-b)^2 = r^2$$

Einfachhafter Fixieren wie den



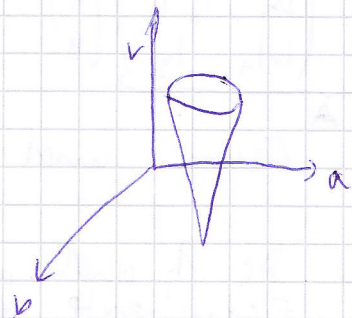
Radius.



Im Parameterraum bilden wieder alle möglichen Mittelpunkte einen Kreis

Mit Beachtung 3-dimensional.

des Radius ist der Parameterraum

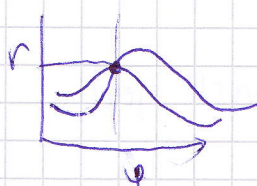
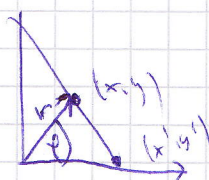


Drei Kegel im Parameterraum die zu 3 auf einem Kreis liegenden Punkten gehören, schneiden sich in einem Punkt.

Man kann die Hough-Transformation auf beliebige Objekte verallgemeinern.

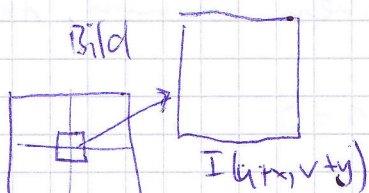
Für Linien gibt es auch noch eine andre Darstellung

$$x \cos \varphi + y \sin \varphi = r$$



Harris corner detector

Ist neu Feature.



$I(u, v)$ wir verschieben um (x, y)

$$S = \sum_{u, v} (I(u+x, v+y) - I(u, v))^2$$

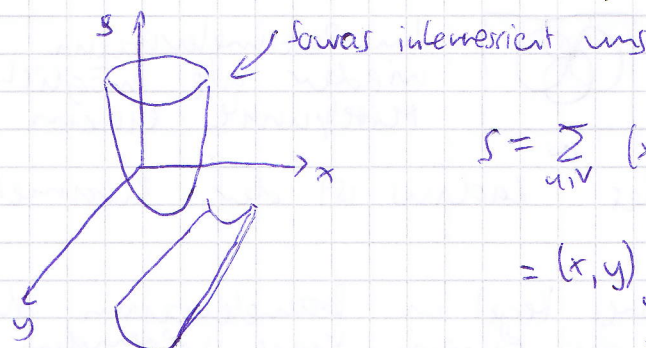
Das könnte man natürlich auch Gewichten

Das Bild $I(u+x, v+y)$ kann über eine Taylor-Reihe approximiert

werden: $I(u+x, v+y) = I(u, v) + \frac{\partial I(u, v)}{\partial x} x + \frac{\partial I(u, v)}{\partial y} y$

$$S = \sum_{u, v} \left(\underbrace{\frac{\partial I(u, v)}{\partial x}}_{Ix} x + \underbrace{\frac{\partial I(u, v)}{\partial y}}_{Iy} y \right)^2$$

Es ergibt sich sowas..



$$\begin{aligned} S &= \sum_{u, v} (x, y) \begin{pmatrix} I_x^2 & I_x I_y \\ I_x I_y & I_y^2 \end{pmatrix} \begin{pmatrix} x \\ y \end{pmatrix} \\ &= (x, y) \underbrace{\sum_{u, v} \begin{pmatrix} I_x^2 & I_x I_y \\ I_x I_y & I_y^2 \end{pmatrix}}_A \begin{pmatrix} x \\ y \end{pmatrix} \end{aligned}$$

Wir suchen von oben auf den Raum und betrachten die Hauptkomponenten



Die λ_i sind Eigenwerte der Matrix A

Die uninteressanten Fälle sind:

$$\lambda_1 = \lambda_2 \approx 0 \Rightarrow \text{alle homogen}$$

$$\lambda_1 \approx 0 \Rightarrow \text{Kante}$$

$$\lambda_2 \approx 0 \Rightarrow \text{Kante}$$

Der Harris corner detector macht jetzt

$$\lambda_1 \lambda_2 - K(\lambda_1 + \lambda_2)^2$$

$$\det A = \lambda_1 \lambda_2$$

$$\text{Spur } A = \lambda_1 + \lambda_2$$

$$\text{Damit ergibt sich } \det A = K (\text{Spur } A)^2$$

↑

empirisch testen